

بررسی عملکرد پروژه به سازی خاک به روش پیش-بارگذاری با استفاده از نتایج آنالیز برگشتی حاصل از مدل‌سازی عددی و ابزارگذاری-مطالعه موردنی

خسرو مهرشاهی، حمید علی الهی*

گروه مهندسی عمران، واحد زنجان، دانشگاه آزاد اسلامی، زنجان، ایران

پذیرش: ۹۵/۰۵/۰۵ دریافت: ۹۵/۱۱/۱۶

چکیده

به منظور به سازی خاک در محل مخازن نفت پرژه اینبار نفت ماهشهر، به علت وجود لایه‌های زیرسطحی نرم رسی و بالا بودن تراز آب زیرزمینی در ناحیه بررسی شده، برای نداشتن خسارات ناشی از نشستهای تحکیمی دراز مدت در اثر ساخت مخازن، از روش پیش بارگذاری به کمک خاک‌ریز به همراه زهکش‌های قائم پیش‌ساخته (PWD) با الگوی مشتمی استفاده شده است. برای کنترل نتایج محاسباتی و عملکرد مناسب خاک‌ریزها از ابزار دقیق‌هایی نظیر نشستستینجه‌ها و پیزومنترها که در تمامی نقاط خاک‌ریز نصب شده‌اند، بهره گرفته شده است. در این مقاله آنالیز برگشتی با استفاده از نتایج ابزار دقیق و به کمک نرم‌افزار تفاضل محدود 3D Settle 3D انجام شده و نتایج به دست آمده با یکدیگر مقایسه شده است. در این راستا پارامترهای تأثیرگذار ژئوتکنیکی اولیه حاصل از آزمایش‌های آزمایشگاهی و صحرایی با استفاده از این روش تصحیح شده است. نتایج به دست آمده نشان می‌دهد که پارامترهای آزمایشگاهی مؤثر در نظر گرفته شده برای محاسبات اولیه نشست تحکیمی خاک نظیر (C_e) و (P_c)، به ترتیب بیش‌تر و کم‌تر از مقادیر واقعی اندازه‌گیری شده است و پارامترهای آزمایشگاهی مؤثر در نظر گرفته شده برای محاسبات زمان تحکیم خاک (K_b و K_v) از مقادیر واقعی اندازه‌گیری شده کم‌تر پیش‌بینی شده است. هم‌چنین نتایج حاصل بر مبنای بررسی‌های پارامتریک انجام شده در مورد آرایش و عمق زهکش‌های قائم، نشان داد که با افزایش طول زهکش‌ها نسبت به فواصل آن‌ها می‌توان کارایی این روش را افزایش داد.

واژه‌های کلیدی: روش پیش بارگذاری، زهکش‌های پیش ساخته قائم، نشست تحکیمی، مدل‌سازی عددی،

مخازن اینبار نفت

*نویسنده مسئول h.alielahi@iauz.ac.ir

مقدمه

از زیر مجموعه‌های پرکاربرد بهسازی خاک که قدمت آن به سال‌ها قبل از دهه ۱۹۳۰ بر می‌گردد، روش "پیش بارگذاری"^۱ است که یکی از روش‌های ساده و اقتصادی در افزایش شاخص‌های مقاومتی خاک‌های ریزدانه اشباع است [۱]. از جمله مزایای این روش: سادگی در اجرا، کترل و اندازه‌گیری میزان نشست زمین و در بعضی موارد میزان فشارهای آب منفذی با استفاده از ابزارگذاری و بررسی رفتار و عملکرد این روش در حین اجرا است. همچنین این روش با استفاده از زهکش‌های قائم بهمنظور افزایش سرعت نشست تحکیمی به دو شکل استفاده از خاکریز^۲ و یا مکش^۳ قابل انجام است [۲].

به‌طورکلی خاک‌های رسی نرم به‌علت تراوایی کم به زمان زیادی برای نشست تحکیمی نیاز دارند. برای افزایش سرعت تحکیم در این خاک‌ها، زهکش‌های قائم پیش ساخته (PVD)^۴ در خاک نصب می‌شوند. زهکش‌های قائم با کوتاه کردن مسیر زهکشی موجب افزایش سرعت فرآیند تحکیم شده که این عمل به‌نوبه خود سبب افزایش مقاومت خاک رس به‌صورت سریع شده و توانایی پذیرش بار جدید خاک را افزایش می‌دهد [۱]، [۲].

امروزه پژوهش‌های متعددی روی این روش بهمنظور بهسازی خاک نرم انجام شده است که از نمونه‌های موفق پیش بارگذاری با استفاده از زهکش‌های قائم پیش ساخته در پروژه‌های بهسازی خاک می‌توان به تحقیقات بوشان^۵ و همکاران [۳] در سال ۲۰۰۰ اشاره کرد. پروژه مورد نظر انبار ذخیره مایعات در کشور اندونزی به مساحت ۲۵۳۰۰ مترمربع بر لایه‌ای به ضخامت ۳ الی ۸ متر رس نرم تراکم‌پذیر واقع شده است که با خاک‌ریزی معادل ۱۰ الی ۱۳ متر ارتفاع و با به‌کارگیری زهکش‌های نواری، نشستی معادل ۶۰ الی ۱۷۰ سانتی‌متر به‌وقوع پیوسته است. ایندراراتنا^۶ و ردانا^۷ [۴] در سال ۱۹۹۸ ابراز داشتند که در عملیات پیش بارگذاری با نصب زهکش‌های نواری انجام شده، اثر ناحیه بهم خورده^۸ اطراف زهکش‌های قائم در

1. Preloading

2. Embankment

3. Vacuum

4. Prefabricated Vertical Drain

5. Bhushan

6. Indraratna

7. Redana

8. Smear Zone

مدت زمان کم (چندde روز) چشمگیر است ولی در مدت زمان زیاد (حدود ۴۰۰ روز) اثری نداشته است. هم‌چنین ایندراراتنا و همکاران [۵] در سال ۲۰۰۵ بررسی‌های تحلیلی و عددی بر تحکیم خاک رس نرم انجام دادند و متوجه شدند که کاهش درجه اشباع خاک اطراف مندلر^۱ یا هادی زهکش قائم در موقع نصب می‌تواند در مرحله اولیه تحکیم موجب کاهش سرعت محو اضافه فشار آب حفره‌ای شود. هم‌چنین آن‌ها نشان دادند که تعیین پارامترهای خاک در نزدیکی زهکش بسیار راحت‌تر از داخل و خارج ناحیه دست‌خورده اطراف زهکش است.

ساتananatan^۲ و ایندراراتنا [۶] در سال ۲۰۰۶، ویژگی منطقه دست‌خورده اطراف زهکش ایجاد شده به‌وسیله مندلر زهکش‌های قائم‌پیش ساخته را بررسی کردند و دریافتند که وسعت ناحیه دست‌خورده اطراف زهکش در خاک‌های رسی Moruya^۳ حدوداً ۲/۵ برابر شعاع معادل زهکش است. به هر حال وسعت ناحیه دست‌خورده به‌علت شکل زهکش، سرعت نصب زهکش و هم‌چنین سختی خاک قابل تغییر است.

از پروژه‌های موفق دیگر می‌توان به تحقیقات Rujikitakamjorn^۴ و همکارانش [۷] در سال ۲۰۰۷ اشاره کرد. ایشان با استفاده از نرم‌افزار اجزای محدود ABAQUS^۵ و با استفاده از مدل رفتاری کم-کلی اصلاح شده^۶ به مدل‌سازی انبار ذخیره مایعات در بندر Tianjin^۷ در کشور چین پرداختند. ویژگی ژئوتکنیکی خاک این منطقه تا عمق ۱۵ متری از خاک بسیار نرم تحکیم‌پذیر تشکیل یافته و برای بهسازی خاک با روش پیش‌بارگذاری به سرباری معادل ۱۴۰ کیلو پاسکال نیاز بوده است. ایشان با ترکیب پیش‌بارگذاری از نوع خاکریز و مکش، مشکل ارتفاع زیاد خاکریز را حل کردند و با مقایسه نتایج ابزار دقیق و پیش‌بینی‌های انجام شده به این نتیجه رسیدند که استفاده از ترکیب خاکریز و مکش به‌طور هم‌زمان می‌تواند تأثیر بهسازی در کوتاه کردن زمان پیش‌بارگذاری و هم‌چنین کاهش ارتفاع خاکریز و جابه‌جایی جانبی خاک

1. Mandrel

2. Sathananthan

3. Moruya

4. Rujikitakamjorn

5. ABAQUS

6. Modified Cam-Clay

7. Tianjin

داشته باشد. سائوواپکبیون^۱ و همکاران [۸] در سال ۲۰۱۰، تأثیر پیش بارگذاری با روش ایجاد مکش در تسريع عمل تحکیم رس نرم بانکوک با استفاده از PVD در مقایسه با نتایج متناظر این آزمایش بدون پیش بارگذاری مکش را ارایه کردند.

دار^۲ و همکاران (۲۰۱۱) [۹]، روند پیش بارگذاری بندر چیتاگونگ^۳ در کشور بنگلادش را بررسی کردند. آنها دریافتند که نسبت ضریب تحکیم شعاعی به قائم (C_h/C_v) عددی معادل $1/53$ و همچنین نسبت ضریب افقی به قائم تراوایی خاک (K_h/K_v)، $2/07$ است. تدجاکوسوما^۴ (۲۰۱۲) [۱۰] با استفاده از سیستم پیش بارگذاری و زهکش‌های قائم به بررسی خاک‌های نرم و رسی منطقه سورابایا^۵ در کشور اندونزی پرداختند. ایشان در این تحقیق دریافتند که استفاده از پیش بارگذاری در بهسازی خاک این منطقه بسیار مؤثر بوده است و در مدت زمانی حدود ۲۸۰ روز میزان نشت با استفاده از زهکش‌های قائم پیش ساخته در مقایسه با حالت بدون زهکش دو برابر افزایش یافته است. همچنین ایشان متوجه شدند که میزان نشت در اعمق سطحی خاک بسیار بیشتر از میزان نشت در اعمق پیش‌تر خاک است. کاسکون و و بیوندی [۱۱] در سال ۲۰۱۳ در یک مطالعه موردنی به بررسی عملکرد روش پیش بارگذاری با خاکریز و زهکش‌های قائم (PVD) بهمنظور ساخت مخازن ذخیره نفت پرداختند. در محل بررسی شده آزمایش‌های متنوع آزمایشگاهی و صحرایی و همچنین از ابزارگذاری در حین خاکریزی و پس از آن استفاده شده است. سپس، پس از برداشت خاکریزهای پیش بارگذاری، با کمک آزمایش هیدرواستاتیک^۶ با آب، رفتار مخازن و نشت‌های آن را بررسی کردند. نتایج تحقیقات آنها نشان از عملکرد مناسب عملیات پیش بارگذاری و ایجاد نشت‌های مجاز پس از ساخت مخازن داشته است.

برگادو^۷ و همکاران [۱۲] در سال ۲۰۱۴، زهکش‌های پیش ساخته معمولی را با زهکش‌های پیش ساخته مکشی^۸ را مقایسه کردند و دریافتند که زهکش‌های پیش ساخته مکش‌شونده در

-
1. Saowapakpiboon
 2. Dhar
 3. Chittagong Sea Port
 4. Tedjakusuma
 5. Surabaya
 6. Hydrostatic test
 7. Bergado
 8. Vacuum PVDs

حدود ۱/۷ الی ۱/۸ برابر زهکش‌های معمولی سرعت نشست را افزایش می‌دهند. همچنان با استفاده از این زهکش‌ها می‌توان دست‌خوردگی کمتری در خاک اطراف زهکش ایجاد کرد. به منظور بررسی عمق مؤثر زهکش‌های قائم پیش‌ساخته (PWD)، چن و همکاران [۱۳] ۲۰۱۶ به بررسی عملکرد این نوع از زهکش‌ها در خاک‌های رسی نرم در قالب یک مطالعه موردی در کشور چین به کمک نتایج ابزار دقیق و مدل‌سازی عددی پرداختند. نتایج بررسی‌های پارامتریک آن‌ها نشان داد که افزایش عمق زهکش‌ها از مقادیر به دست آمده از مدل‌سازی‌های عددی و نتایج ابزارگذاری در محل، موجب افزایش هزینه پروژه بدون افزایش در درجه تحکیم خاک می‌شود.

در پروژه انبار نفت ماشهر به منظور بهسازی خاک از روش پیش‌بارگذاری با خاکریز به همراه زهکش‌های قائم پیش‌ساخته (PWD) استفاده شده که در این مقاله بررسی شده است. با توجه به نوع لایه‌های خاک و شرایط زیرسطحی در محل پروژه و قرارگیری لایه‌های تحکیم‌پذیر، حجم بهسازی مورد نیاز برای اصلاح خواص خاک به منظور جلوگیری از نشست و گسیختگی خاک در اثر اعمال بارهای ناشی از مخازن بسیار زیاد بوده است. با توجه به این که یکی از مشکلات اکثر پروژه‌های عملیات بهسازی خاک بهروش پیش‌بارگذاری، دقت نداشتن در برآوردهای نشست خاکریز و همچنین زمان بر بودن عملیات پیش‌بارگذاری است، از این رو، با استفاده از انتخاب صحیح پارامترهای تأثیرگذار از جمله پارامترهای نشست تحکیمی نظری (P_c و C_s) و زمان تحکیم خاک (K_h و K_v ، می‌توان روش پیش‌بارگذاری را به عنوان گزینه‌ای مناسب و کاربردی برای بهسازی خاک مورد توجه قرار داد. از این رو، در این مقاله با استفاده از آنالیز برگشتی (معکوس) نتایج حاصل از ابزار دقیق به کمک نرم‌افزار تفاضل محدود 3D Settle، پارامترهای ژئوتکنیکی واقعی برآورده شده و پارامترهای اولیه پیش‌بینی شده تأثیرگذار حاصل از آزمایش‌های آزمایشگاهی و صحرایی با استفاده از این روش تصحیح و برای ادامه روند طراحی و عملیات اجرایی پیشنهاد شده است. در انتهای نیز کارایی روش پیش‌بارگذاری با مقایسه نشست‌های پیش‌بینی شده خاک نرم و نشست‌های ناچیز قابل اغماض بعد از عملیات پیش‌بارگذاری در اثر احداث مخازن نفت، ارزیابی شده است.

مروری بر تئوری تحکیم شعاعی

روش‌های مختلفی برای در نظر گرفتن توان تحکیم قائم و شعاعی ارایه شده است که ساده‌ترین آن را کاریلو^۱ [۱۴] در سال ۱۹۴۲ با رابطه (۱) بیان کرده است.

$$(1-U_v)(1-U_h) \quad (1)$$

که در این رابطه، U درصد تحکیم متوسط کل، U_v درصد تحکیم متوسط در جهت قائم و U_h درصد تحکیم متوسط شعاعی است. هم‌چنین روابطی برای به دست آوردن درجه تحکیم متوسط همراه با زهکش قائم پیشنهاد شده است [۲]، [۱۵] که در روابط (۲) و (۳) آورده شده است. مقادیر U_v و U_h را می‌توان به ترتیب از روابط (۲) و (۳) محاسبه کرد:

$$\frac{U_v}{100} = \frac{\left(\frac{4T_v}{\pi}\right)^{0.5}}{1 + \left(\frac{4T_v}{\pi}\right)^{2.8}}^{0.179}, \quad T_v = \frac{C_v t}{H^2} \quad (2)$$

$$U_h = 1 - \exp\left[\left(\frac{-8T_h}{F_n}\right)\right], \quad T_h = \frac{C_h t}{d_e^2} \quad (3)$$

که در آن U_v درصد تحکیم متوسط قائم، T_v عامل زمان بدون بُعد برای زهکشی قائم، C_v ضریب تحکیم در جهت قائم، H طول حداکثر مسیر زهکشی قائم، t زمان محاسبه درجه تحکیم، U_h درصد تحکیم متوسط شعاعی، T_h عامل زمان بدون بُعد برای زهکشی شعاعی، C_h ضریب تحکیم در جهت شعاعی و d_e قطر دایره معادل مربوط به تأثیر زهکش مطابق شکل ۱ است که برای آرایش مثلثی زهکش‌ها $1/05$ برابر فاصله زهکش‌ها (S) و برای آرایش مربعی $1/13$ برابر فاصله زهکش‌ها پیشنهاد شده است [۲].

$F(n)$ پارامتری است که در برگیرنده فواصل، قطر معادل، ظرفیت دبی خروجی زهکش و ناحیه دست‌خوردۀ خاک اطراف زهکش است که در ساده‌ترین حالت با استفاده از رابطه (۴) به دست می‌آید [۲].

$$F(n) = \frac{n^2}{n^2 - 1} \ln(n) - \frac{3n^2 - 1}{4n^2} \approx \ln(n) - \frac{3}{4}, \quad n = \frac{d_e}{d_w} \quad (4)$$

1. Carillo

n نسبت قطر دایره معادل به قطر چاه زهکش، d_w قطر دایره معادل مربوط به تأثیر زهکش و قطر چاه زهکش است.

برای زهکش‌های نواری (Band-shaped PV drain)، قطر معادل چاه زهکش d_w که به منظور

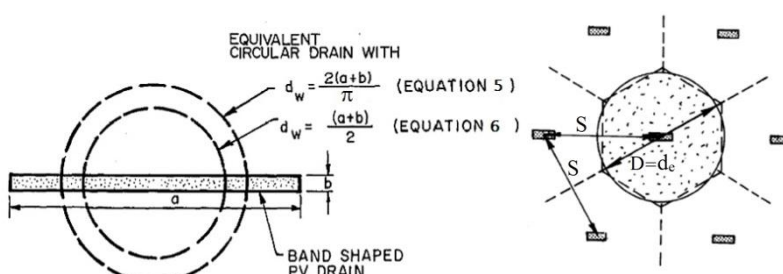
استفاده در محاسبات از رابطه (۵) به دست می‌آید:

$$d_w = \left(\frac{2(a+b)}{\pi} \right) \quad (5)$$

کاهش قطر معادل چاه زهکش را برای زهکش‌های نواری با نسبت a/b کوچک‌تر از ۵۰ بر

اساس رابطه ۶ پیشنهاد شده است [۲]. پارامترهای رابطه‌های (۵) و (۶) در شکل ۲ نشان داده شده است.

$$d_w = \frac{(a+b)}{2} \quad (6)$$



شکل ۱. چاه‌های زهکش [۲] قطر معادل زهکش نواری [۲]

برای در نظر گرفتن تأثیر دستخوردگی خاک در اثر نصب زهکش و هم‌چنین مقاومت

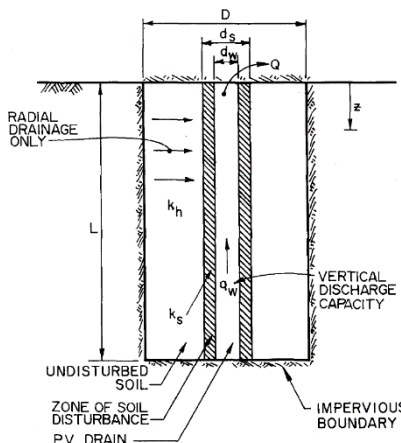
zechesh در فرآیند تحکیم شعاعی، رابطه (۷) پیشنهاد شده است [۲]:

$$\frac{U_h \%}{100} = 1 - \exp \left[\frac{-8T_h}{F(n) + F_s + Fr} \right] \quad (7)$$

در رابطه مذکور، F_s فاکتور دستخوردگی خاک است و از رابطه (۸) قابل محاسبه است:

$$F_s = \left(\left(k_h / k_s \right) - 1 \right) \ln(d_s / d_w) \quad (8)$$

که در آن d_s قطر ناحیه دستخورده اطراف زهکش، k_h ضریب نفوذپذیری خاک در جهت افقی در ناحیه دستخورده و k_s ضریب تراوایی خاک در جهت افقی در ناحیه دستخورده است. مطابق شکل ۳ پارامترهای دخیل در رابطه (۸) ارایه شده است.



شکل ۳. زهکش نواری و دست‌خوردگی خاک اطراف به همراه پارامترهای مربوط [۲] پارامتر F_r در رابطه (۷) فاکتور مقاومت زهکش است که از رابطه (۹) می‌توان محاسبه کرد:

$$F_r = \pi z (L - z) \left(\frac{k_h}{q_w} \right) \quad (9)$$

که در آن z فاصله قائم از سطح لایه تراکم‌پذیر، q_w ظرفیت تخلیه زهکش، L طول مؤثر زهکش، که در صورت زهکشی یک‌طرفه برابر با ضخامت لایه تراکم‌پذیر و در صورت زهکشی دو‌طرفه برابر با نصف این مقدار در نظر گرفته می‌شود. معمولاً محدوده مقادیر F_r نسبت به F_s و F_n بسیار کوچک است و در محاسبات صرف نظر می‌شود [۲].

پروژه انبار نفت ماشهر - مطالعه موردي

معرفی پروژه

پروژه بندر ماشهر در استان خوزستان و شهرستان ماشهر با طول جغرافیایی ۴۹ درجه و ۱۳ دقیقه و عرض جغرافیایی ۳۰ درجه و ۳۳ دقیقه واقع شده است. ارتفاع ماشهر از سطح دریا ۲/۶ متر و ارتفاع محل پروژه از سطح دریا ۱/۲ متر الی ۲/۲ متر است.

پروژه انبار نفت ماشهر شامل مخازن ذخیره سوخت و هم‌چنین تأسیسات و ساختمان‌های مسکونی مجاور آن‌ها است که نقشه جانمایی پروژه در شکل ۴ ارایه شده است. در این شکل موقعیت مخازن سوخت و تأسیسات جانبی نشان داده شده است. مخازن ذخیره سوخت بررسی

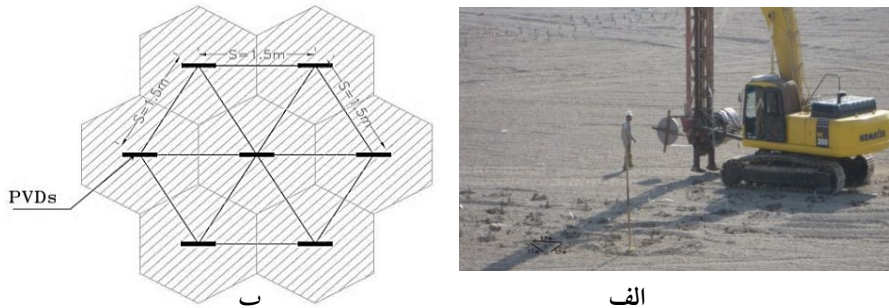
شده شامل مخازن 403 (خاکریز Tank 403) و 602 (خاکریز EM-3) هستند. با توجه به نوع لایه‌های خاک و شرایط زیرسطحی در محل پروژه و قرارگیری لایه‌های تحکیم‌پذیر در زیر مخازن یاد شده، حجم بهسازی مورد نیاز برای اصلاح خواص خاک به‌منظور جلوگیری از نشست و گسیختگی خاک در اثر بارهای ناشی از مخازن، بسیار زیاد است. هم‌چنین با توجه به وسعت زیاد منطقه مورد نظر، استفاده از شالوده عمیق (شمع) و هم‌چنین استفاده روش‌های دیگر بهسازی خاک با توجه به نوع خاک، غیراقتصادی و زمان‌بر بوده است. از این‌رو، در این پیش‌ساخته (PVD) در دستورکار است. با توجه به موارد ذکر شده به‌منظور بهسازی خاک زیر این مخازن بهروش پیش‌بارگذاری به‌ترتیب از خاکریز EM-2B به مساحتی معادل ۹۵۵۰ متر مربع و ارتفاع ۱۴/۶۶ و باری معادل ۲۶۳/۸۸ کیلونیوتون بر مترمربع و خاکریز EM-3 به مساحتی معادل ۱۰۷۸۱ مترمربع و ارتفاع ۱۳/۸۹ و باری معادل ۲۵۰ کیلونیوتون بر مترمربع مطابق شکل ۵ استفاده شده است.



شکل ۴. نقشه جانمایی مخازن پروژه اینبار نفت ماهشهر
فاصله زهکش‌های قائم $1/5$ متر و طول هر زهکش 25 متر در نظر گرفته شده است.
zechesh-hai qaim (PVD) az nout nvari (Colbonddrain CX1000) [۲] be abad ۱۰ در ۳۶ سانتی متر است که این زهکش‌ها مطابق شکل ۶ به صورت آرایش متشی در زمین محل پروژه نصب شده‌اند.



شکل ۵. الف) نمایی از خاکریز EM-2B، ب) نمایی از خاکریز EM-3

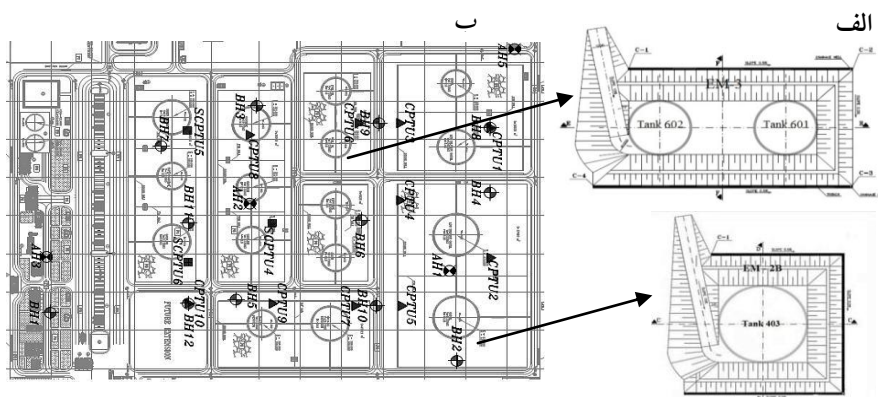


شکل ۶. الف) نمایی از اجرای زهکش‌های نواری در زیر خاکریزها ب) آرایش زهکش‌ها در پلان

مشخصات ژئوتکنیکی پروژه

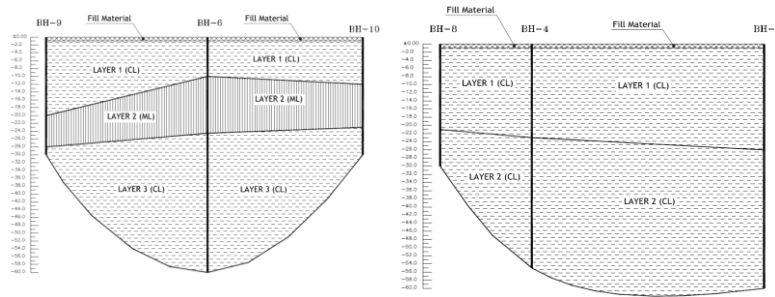
با توجه به بررسی‌های ژئوتکنیکی انجام شده در محل پروژه، وضعیت لایه‌های خاک عمدتاً از جنس رس با خاصیت خمیری کم (CL) است که در اکثر اعماق در صدی از سیلت (ML) در ترکیب خاک یافت می‌شود. با توجه گمانه‌های حفر شده، خاک محل پروژه به لحاظ ژئوتکنیکی به سه ناحیه متفاوت تقسیم‌بندی شده است که خاکریزهای بررسی شده این پژوهش (EM-2B) در ناحیه سه ژئوتکنیکی و (EM-3) در ناحیه دو ژئوتکنیکی واقع شده است. برای شناسایی ناحیه سه ژئوتکنیکی، سه گمانه BH-2، BH-4 و BH-8 و برای شناسایی ناحیه دو ژئوتکنیکی، سه گمانه BH-6، BH-10 و BH-9 به اعماق مختلف ۳۰ الی ۶۰ متری حفاری شده که در شکل ۷ موقعیت گمانه‌ها و خاکریزهای بررسی شده نشان داده شده است. در این شکل علامت "BH" نشان‌دهنده گمانه و "CPTu" نشان‌دهنده آزمایش صحراوی نفوذ مخروط است. همچنین پروفیل ژئوتکنیکی نواحی بررسی شده در شکل ۸ ارایه شده است.

چنان‌که مشاهده می‌شود در ناحیه سه از عمق ۰ تا ۲۲ متر شامل رس نرم لای‌دار با خاصیت خمیری کم (CL-1) و از عمق ۲۲ متری تا عمق ۶۰ متری خاک از نوع رس نرم با خاصیت خمیری کم (CL-2) با ویژگی‌های متفاوت تشکیل شده است. هم‌چنین خاکریز EM-3 در ناحیه دو ژئوتکنیکی واقع شده است که در این ناحیه از عمق ۰ تا ۱۲ متر دارای رس نرم با خاصیت خمیری کم (CL-1) و از عمق ۱۲ تا ۲۴ متری لای‌دار با خاصیت خمیری کم (ML) و از عمق ۲۴ متری تا عمق ۶۰ متری خاک از نوع رس با خاصیت خمیری کم (CL-2) با مشخصات متفاوت تشکیل شده است. با توجه به بارگذاری ناشی از ساخت مخازن، تحقیقات نشان داد که این نوع لای‌بندی خاک پتانسیل زیادی برای نشست تحکیمی در ناحیه مورد نظر دارد.



شکل ۷. الف) پلان موقعیت خاکریزهای EM-2B و EM-3، ب) محل گمانه‌های ناحیه دو و سه ژئوتکنیکی

مشخصات ژئوتکنیکی و لای‌بندی خاک محل پروره در جدول‌های ۱ و ۲ آورده شده است. لازم به ذکر است که این پارامترها برای طراحی اولیه قبل از اجرای خاکریز بر مبنای نتایج حاصل از آزمایش‌های صحرایی و آزمایشگاهی در گمانه‌ها پیشنهاد و استفاده شده است. به طورکلی پروفیل ژئوتکنیکی گمانه‌های ۲ BH-2 و ۹ BH-9 که به ترتیب در زیر خاکریزهای EM-3 و EM-2 قرار گرفته‌اند در شکل ۸ نشان داده شده است.



الف ب

شکل ۸. الف) پروفیل ژئوتکنیکی ناحیه دو ژئوتکنیکی، ب) پروفیل ژئوتکنیکی ناحیه سه ژئوتکنیکی

جدول ۱. پارامترهای ژئوتکنیکی مربوط به ناحیه دو ژئوتکنیکی در محل خاکریز EM-3
(شامل گمانه‌های ۹، ۶، ۱۰)

عمق لایه خاک (m)	نوع خاک	v (sat)	C_c	C_s	P_c (kPa)	γ (kN/m³)	γ_{sat} (kN/m³)	K_h (m/day)	K_v (m/day)	K_h/K_v	e_0
0 - 6	(CL-1)	0.45	0.17	0.035	60	19.68	20.11	0.0069	0.00345	2	0.7
6 - 12	(CL-1-1)	0.45	0.17	0.035	120	19.68	20.11	0.0069	0.00345	2	0.7
12 - 24	(ML)	0.3	0.17	0.03	200	20.4	21.28	0.00864	0.00432	2	0.75
24 - 38	(CL-2-1)	0.45	0.17	0.03	350	20.82	21.13	0.00172	0.00086	2	0.57
38 - 70	(CL-2-2)	0.45	0.17	0.03	550	20.82	21.13	0.00172	0.00086	2	0.57

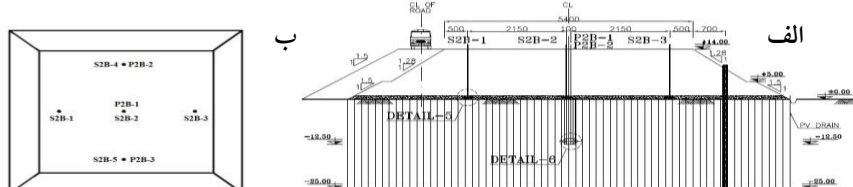
جدول ۲. پارامترهای ژئوتکنیکی مربوط به ناحیه سه ژئوتکنیکی در محل خاکریز EM-2B
(شامل گمانه‌های ۸، ۴، ۲)

عمق لایه خاک (m)	نوع خاک	v (sa t)	C_c	C_s	P_c (kPa)	γ (kN/m³)	γ_{sat} (kN/m³)	K_h (m/day)	K_v (m/day)	K_h/K_v	e_0
0 - 10	(CL-1)	0.4 5	0.1 7	0.0 3	70	20.16	20.59	0.0086	0.0043	2	0.85
10 - 22	(CL-1-1)	0.4 5	0.1 7	0.0 3	180	20.16	20.59	0.0086	0.0043	2	0.85
22 - 38	(CL-2) 2	0.4 5	0.1 6	0.0 3	350	20.64	20.95	0.0026	0.0013	2	0.6
38 - 48	(CL-2-1)	0.4 5	0.1 6	0.0 3	450	20.64	20.95	0.0026	0.0013	2	0.6
48 - 60	(CL-2-2)	0.4 5	0.1 6	0.0 3	580	20.64	20.95	0.0026	0.0013	2	0.6

موقعیت ابزارگذاری و انواع آنها

به منظور بررسی و کنترل عملکرد عملیات بهسازی خاک بهروش پیش‌بارگذاری در خاکریزهای بررسی شده از ابزارگذاری‌های مختلفی استفاده شده است. این ابزارها منجر به کسب اطلاعات مفید و در نتیجه تسريع در عملیات ساختمانی با حداقل مخاطره می‌شوند. ابزارهای استفاده شده در این پژوهه شامل: صفحات نشت‌سنچ^۱ که از نوع میله‌ای و برای اندازه‌گیری نشت‌های سطح زمین طبیعی با دقت میلی‌متر و پیزومترها^۲ که از نوع پیزومتر لوله صاف و با دقت سانتی‌متر برای اندازه‌گیری ارتفاع آب داخل پیزومتر و برآورد فشار آب منفذی هستند. همچنین انحراف‌سنچ‌ها^۳ که به منظور اندازه‌گیری حرکات جانبی استفاده می‌شوند. علاوه بر موارد مذکور، از چاههای مشاهده‌ای نیز به منظور اندازه‌گیری سطح آب زیرزمینی طبیعی و فشار آب هیدرواستاتیک بهره گرفته شده است. در خاکریز EM-2B به شکل مربعی به ابعاد ۹۷/۷۴ در ۹۷/۷۴ متر، برای اندازه‌گیری نشت از پنج نشت‌سنچ و برای اندازه‌گیری فشار آب منفذی از سه پیزومتر مطابق شکل ۹ استفاده شده است. در این شکل‌ها "S" نشان‌دهنده صفحات نشت‌سنچ و "P" پیزومترها هستند. همچنین در خاکریز EM-3 به ابعاد ۱۴۳/۷۵ در ۷۵ متر، برای اندازه‌گیری نشت از هفت نشت‌سنچ و برای اندازه‌گیری فشار آب منفذی از

پنج پیزومتر مطابق شکل ۱۰ استفاده شده است.

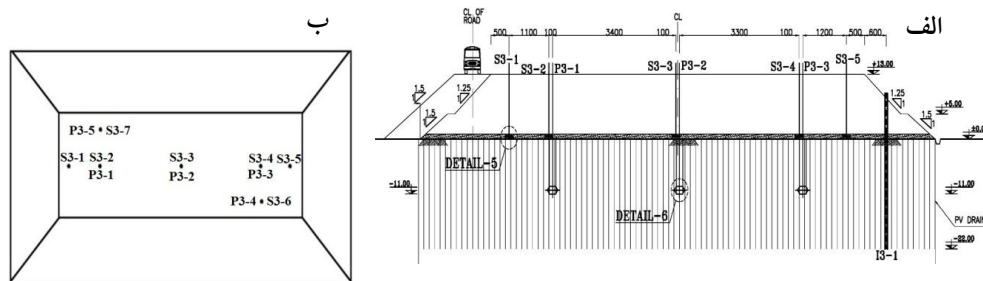


شکل ۹. الف) موقعت اینزارگذاری در مقطع خاکریز EM-2B، ب) پلان خاکریز

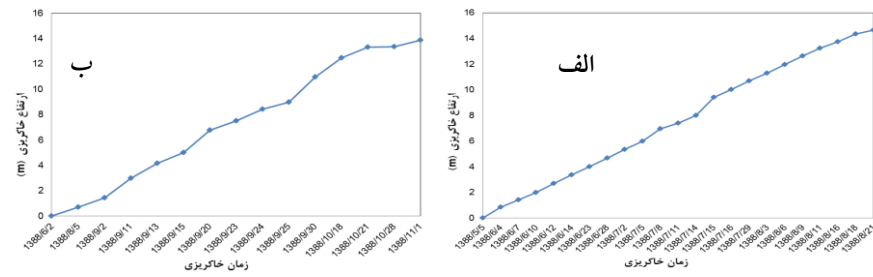
شکل ۱۱ نشان دهنده نمودار خاکریزی مرحله‌ای خاکریزهای EM-2B و EM-3 است و همچنین شکل ۱۲ میزان نشست حاصل از ابزار دقیق (S2) و (S3) به ترتیب در مرکز خاکریز B-EM-2B و EM-3 را نشان می‌دهد که سر از گذشت زمان انتظار، میزان نشست خاک واقع در زیر

1. Settlement plates
2. Piezometers
3. Inclinometers

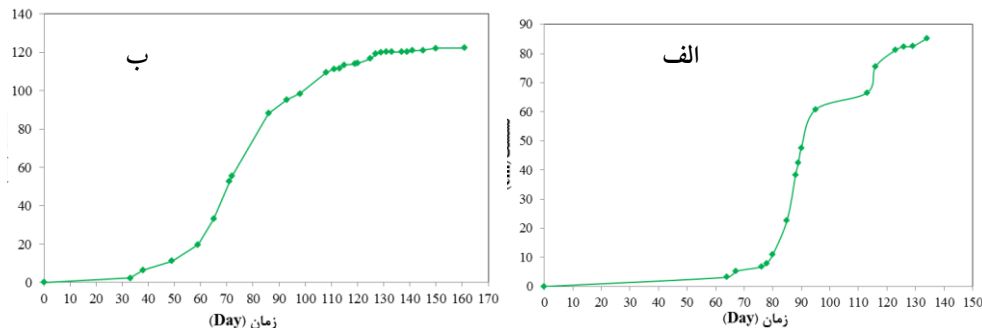
خاکریزها تقریباً به مقدار ثابتی رسیده است. چنان‌که در شکل ۱۳ مشاهده می‌شود فشار آب حفره‌ای حاصل از پیزومتر (P1) و (P2) به ترتیب در مرکز خاکریزهای EM-2B و EM-3 در پایان زمان خاکریزی به بیش‌ترین مقدار خود رسیده است و با گذشت زمان انتظار، میزان فشار آب حفره‌ای به تدریج کاسته شده و فشار آب حفره‌ای به صفر رسیده است که این موضوع نشان‌گر پایان زمان تحکیم است.



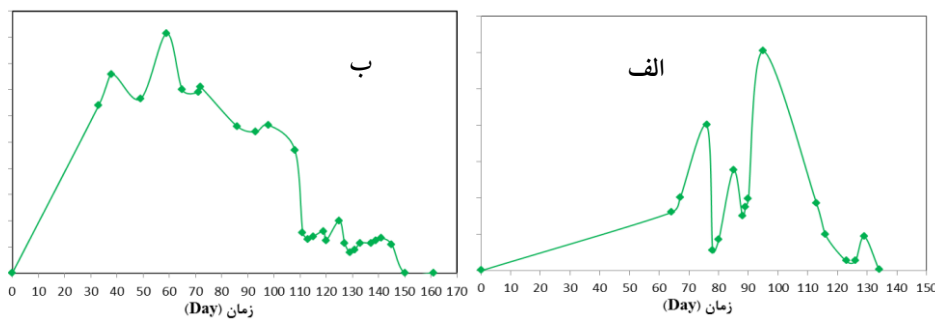
شکل ۱۰. الف) موقعیت ابزارگذاری در مقطع خاکریز EM-3، ب) پلان خاکریز EM-3



شکل ۱۱. الف) نمودار تاریخچه خاکریز EM-2B، ب) نمودار تاریخچه خاکریز EM-3



شکل ۱۲. الف) نشست ثبت شده با استفاده از صفحه نشست سنج S2 در مرکز خاکریز EM-2B
ب) نشست ثبت شده با استفاده از صفحه نشست سنج S3 در مرکز خاکریز EM-3



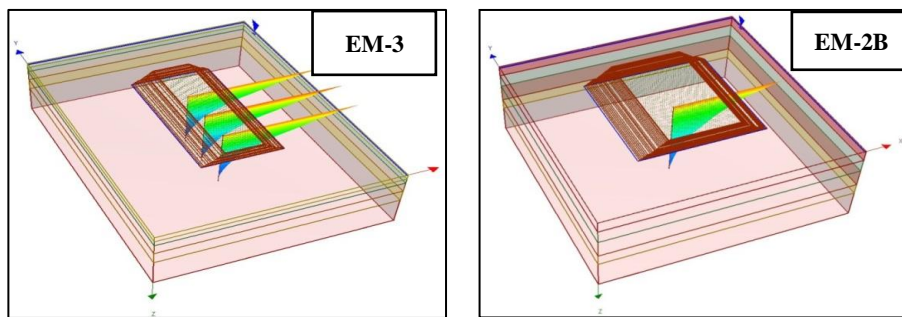
شکل ۱۳. الف) تغییرات فشار آب حفره‌ای ثبت شده با استفاده از پیزومتر P1 در مرکز خاکریز EM-2B، ب) تغییرات فشار آب حفره‌ای ثبت شده با استفاده از پیزومتر P2 در مرکز خاکریز EM-3

مدل‌سازی عددی

به منظور مدل‌سازی عددی، از نرم‌افزار Settle 3D بر مبنای روش تفاضل محدود^۱ استفاده شده است. این نرم افزار مبتنی بر تئوری تحکیم ترازاقی همراه با تحکیم شعاعی بوده است و پارامترهای مؤثر در نشست تحکیمی خاک نظیر: فشار پیش تحکیمی (P_0)، نشانه فشردگی (C_c)، شاخص تورم (C_s) و هم‌چنین نفوذپذیری خاک در دو جهت افقی و قائم در این نرم افزار معرفی می‌شوند. برای مدل‌سازی سه‌بعدی خاکریزهای EM-2B و EM-3، ابعاد مدل از طرفین خاکریز باید طوری در نظر گرفته شود که شرایط واقعی زمین لحاظ شده و در رفتار کلی خاکریز کم‌ترین تأثیر را داشته باشد. خاکریز EM-2B دارای ارتفاع ۱۴/۶۶ متر و دارای ابعاد ۹۷/۷۴ در ۹۷/۷۴ متر است و هم‌چنین خاکریز EM-3 به ابعاد ۱۴۳/۷۵ در ۷۵ متر و به ارتفاع ۱۳/۸۹ متر است. شرایط مرزی در این نرم افزار به صورت خودکار در نظر گرفته می‌شود، بدین ترتیب که عرضی معادل سه برابر عرض و طولی معادل دو برابر طول خاکریز و هم‌چنین برای عمق آبرفت زیر خاکریز، ارتفاعی معادل پنج برابر ارتفاع خاکریزی با توجه به اطلاعات ژئوتکنیکی در محل، برای هر دو خاکریز لحاظ شده است. هم‌چنین سطح آب زیر زمینی ۱/۵ متر پایین‌تر از سطح زمین طبیعی بر طبق داده‌های ثبت شده در گمانه‌ها لحاظ شده است. شکل ۱۴ تصویر مدل عددی خاکریزهای EM-2B و EM-3 را در نرم‌افزار Settle3D

1. Finite Difference Method

نشان می‌دهد. در این نرم افزار می‌توان با قراردادن زهکش در خاک، سرعت تحکیم را بهبود بخشدید. در خاکریزهای EM-2B و EM-3، با توجه به طرح اولیه، طول زهکش به ترتیب برابر با ۲۵ و ۲۲ متر و فاصله زهکش‌ها از یکدیگر در هر خاکریز $1/5$ متر با آرایش مثلثی در نظر گرفته شده است. ابعاد زهکش‌های قائم پیش ساخته (PVD) دارای ۱۰ سانتی‌متر طول و $0/۳۶$ سانتی‌متر عرض با دبی خروجی 140 میلی‌لیتر بر ثانیه در نظر گرفته شده‌اند که مشخصات کامل آن‌ها در جدول ۳ ارایه شده است.



شکل ۱۴. تصویر مدل‌سازی سه‌بعدی خاکریزهای EM-2B و EM-3 با استفاده از نرم‌افزار Settle 3D
جدول ۳. مشخصات زهکش‌های نواری [۲] Colbonddrain Cx1000

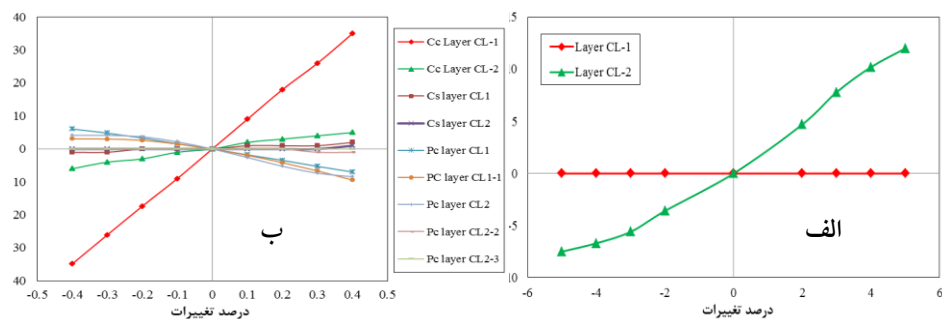
ازدیاد طول در نیروی کششی کیلونیوتن (%)	Opening size O_{90} ($\square\text{m}$)	نفوذپذیری فیلتر k_f (mm/s)	ظرفیت تخلیه Discharge capacity q_w (ml/s)	عرض مقطع، b. (mm)	طول مقطع، a. (mm)
۳٪	۷۵	۷۰	۱۴۰	۳/۶	۱۰۰

تحلیل حساسیت برای تعیین پارامترهای مؤثر خاک

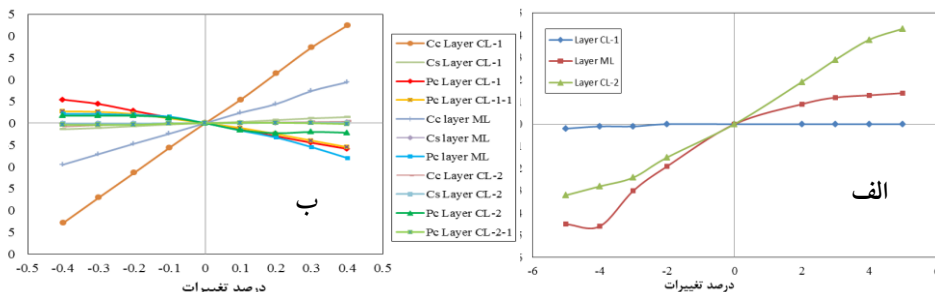
در این بخش با استفاده از نتایج ابزار دقیق نصب شده در محل خاکریزهای پیش‌بارگذاری، به انجام تحلیل حساسیت به کمک نرم‌افزار Settle 3D پرداخته شد. روش تحلیل حساسیت انتخابی برای این منظور، استفاده از روش مستقیم مبتنی بر سعی و خطأ انتخاب شده است. با توجه به تعداد پارامترهای دخیل در مسئله، ابتدا تحلیل حساسیت بر پارامترهای لایه‌های مختلف ژئوتکنیکی مربوط به هر خاکریز انجام شده تا مؤثرترین پارامترها در مقدار نشست و

زمان تحکیم تعیین شوند و سپس با توجه به آنالیزهای برگشتی پارامترهای حاصل از آن محاسبه می‌شود.

فرآیند انجام پژوهش‌های حساسیت پارامترهای ژئوتکنیکی بدین صورت است که در گام اول برای محاسبه مؤثرترین پارامتر در زمان نشست تحکیمی (K_h ضریب افقی تراوایی) مدلی با اطلاعات اولیه ایجاد شده و میزان درجه تحکیم به دست آمده ثبت شده است. سپس هر پارامتر به طور جداگانه تغییر داده شده و پس از جای‌گذاری هر پارامتر به دست آمده در مدل عددی، مجدداً شبیه‌سازی عددی با پارامتر موثر در مقدار نشست تحکیمی (C_s, C_c, P_c به ترتیب فشار تحلیل حساسیت بر پارامترهای مؤثر در مقدار نشست تحکیمی) انجام شده است. نتایج تحلیل حساسیت انجام شده با کمک مدل‌سازی عددی و نتایج ابزار دقیق در محل خاکریز EM-2B و EM-3 به ترتیب در شکل‌های ۱۵ و ۱۶ ارایه شده است.



شکل ۱۵. الف) نمودار تحلیل حساسیت پارامتر نفوذپذیری (K_h) در لایه‌های مختلف ناحیه سه ژئوتکنیکی، ب) نمودار تحلیل حساسیت پارامترهای تحکیمی در لایه‌های مختلف ناحیه سه ژئوتکنیکی (محل خاکریز EM-2B)



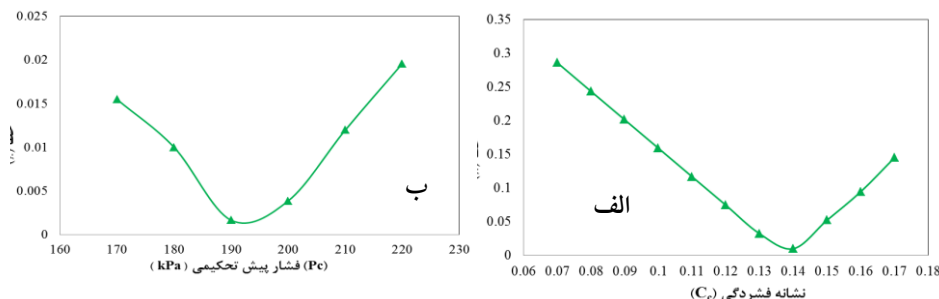
شکل ۱۶. الف) نمودار تحلیل حساسیت پارامتر نفوذپذیری (k_h) در لایه‌های مختلف ناحیه دو ژئوتکنیکی، ب) نمودار تحلیل حساسیت پارامترهای تحکیمی در لایه‌های مختلف ناحیه دو ژئوتکنیکی (محل خاکریز EM-3)

مطابق شکل ۱۵ الف در ناحیه سه ژئوتکنیکی (خاکریز EM-2B)، پارامتر نفوذپذیری (K_h) در لایه دوم (CL-2) که بیشترین شب تغییرات درجه تحکیم را دارد به عنوان حساس‌ترین پارامتر در زمان پدیده تحکیم و بر مبنای شکل ۱۵ ب پارامتر C_e (نشانه فشردگی) در لایه رسی اول (CL-1) با توجه به افزایش شب تغییرات درجه تحکیم، حساس‌ترین پارامتر در مقدار نشت تحکیمی هستند. همچنین با توجه به شکل ۱۶، در ناحیه دو ژئوتکنیکی (خاکریز EM-3)، پارامتر نفوذپذیری (k_h) که دارای بیشترین شب تغییرات در لایه سوم پروفیل خاک (CL-2) به عنوان حساس‌ترین پارامتر در زمان تحکیم و پارامتر C_e در لایه اول (CL-1) با بیشترین شب تغییرات درجه تحکیم، حساس‌ترین پارامتر در مقدار نشت تحکیمی به دست آمده است.

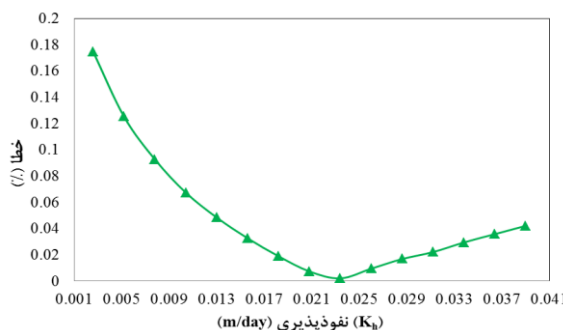
نتایج آنالیز برگشتی (معکوس)

پس از انجام تحلیل حساسیت در بخش قبل و مشخص شدن مؤثرترین پارامترها در مقدار و زمان نشت تحکیمی خاکریزهای یاد شده، در این بخش به آنالیز برگشتی (معکوس) از طریق کمینه‌سازیتابع خطابه منظور دست‌یابی به پارامتر بهینه و صحیح پرداخته شده است. در این تحقیق ابزارهای نصب شده در مرکز خاکریز EM-2B و EM-3 که به صورت روزانه و هفتگی برداشت شده‌اند، بررسی شده است. مطابق شکل‌های ۱۷ و ۱۸ آنالیز برگشتی با روش کمینه‌سازی تابع خطاب دین صورت انجام شده است که هر یک از پارامترها آنقدر تغییر داده

شده و مقادیر نشست بهدست آمده از مدل عددی با نتایج ابزار دقیق مقایسه شده است که کمترین درصد خطأ برای پارامتر مورد نظر بهدست آید. چنان‌که مشخص است برای ناحیه سه ژئوتکنیکی در محل خاکریز EM-2B، تابع خطأ برای پارامترهای نشانه فشردگی (C_c) و فشار پیش تحکیمی (P_c) به ترتیب در لایه‌های CL-1 و CL-1-1 به ترتیب در مقادیر ۱۴٪ و ۱۹۰ کیلو پاسکال کمینه شده است.



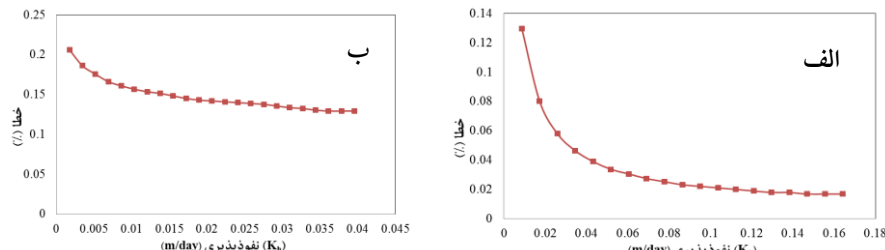
شکل ۱۷. الف) نمودار کمینه سازی تابع خطأ برای پارامترهای نشانه فشردگی (C_c) ب) نمودار فشار پیش تحکیمی P_c در لایه ۱-۱ CL ناحیه سه ژئوتکنیکی (محل خاکریز EM-2B)



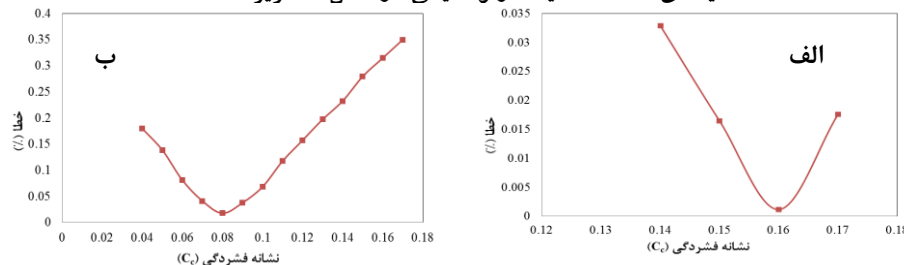
شکل ۱۸. نمودار کمینه سازی تابع خطأ برای پارامتر نفوذپذیری (K_h) در لایه ۲ CL-2 ناحیه دو ژئوتکنیکی در محل خاکریز EM-2B

هم‌چنین با توجه به شکل ۱۸، تابع خطأ برای پارامتر K_h (ضریب تراوایی در راستای افق) در نرم افزار Settle 3D در مقدار ۰/۰۲۳۴ (m/day) کمینه شده است. نتایج بهدست آمده برای خاکریز EM-3 در شکل‌های ۱۹ و ۲۰ ارایه شده است. هم‌چنین این مقادیر در لایه ML برابر ۰/۱۴۶۸۸ (m/day) و در لایه ۲ CL-2 برابر ۰/۰۳۶۱۲ حاصل شده است. در شکل ۲۰

کمینه‌سازیتابع خطا برای پارامتر C_c در لایه‌های CL-1 و ML که در ناحیه دو ژئوتکنیکی با توجه به تحلیل حساسیت انجام شده دارای بیشترین حساسیت در نشست تحکیم هستند، نشان داده شده است. چنان‌که مشخص است پارامتر C_c در لایه ML در مقدار ۰/۱۶ و پارامتر C_c در لایه ۱ CL-1 ناحیه دو ژئوتکنیکی در مقدار ۰/۰۸ کمترین خطا را دارد و بهینه شده است.



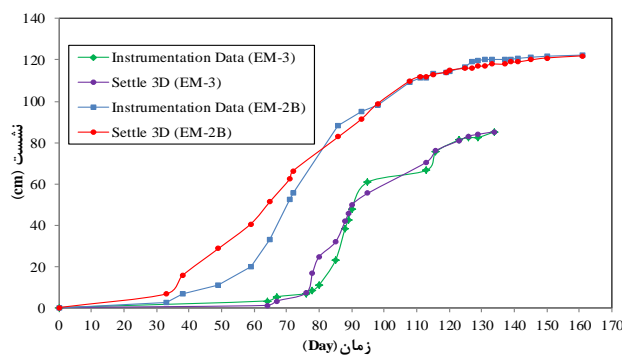
شکل ۱۹. (الف) نمودار کمینه‌سازی تابع خطا برای پارامتر K_h در لایه‌های ML ناحیه ۲ ژئوتکنیکی در محل خاکریز ۳ EM-3، (ب) نمودار کمینه‌سازی تابع خطا برای پارامتر K_h در لایه‌های ۲ CL-2 ناحیه ۲ ژئوتکنیکی در محل خاکریز EM-3



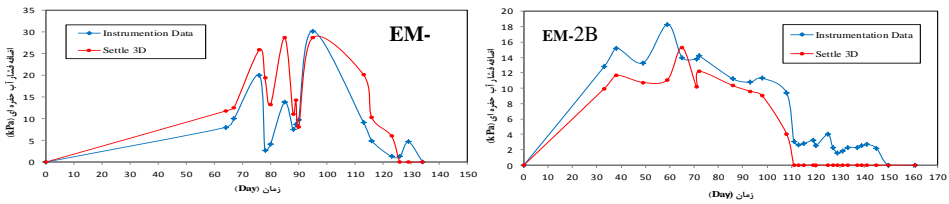
شکل ۲۰. (الف) نمودار کمینه‌سازی تابع خطا برای پارامتر نشانه فشردگی (C_f) در لایه ML ناحیه ۲ ژئوتکنیکی، (ب) نمودار کمینه‌سازی تابع خطا برای پارامتر نشانه فشردگی (C_c) در لایه ۱ CL-1 ناحیه ۲ ژئوتکنیکی

پس از انجام بررسی‌های عددی و آنالیزهای حساسیت پارامترهای خاک در لایه‌های مختلف ژئوتکنیکی، مطابق نتایج به دست آمده از آنالیز معکوس در جداول ۴ و ۵، به ترتیب مقدار C_f (نسبت نفوذپذیری محل به نفوذپذیری آزمایشگاه) در لایه ۲ CL-2 نه برابر و در لایه ۱ CL-2 به مقدار بیست یک برابر و در لایه ML به مقدار هفده برابر حاصل شده است. به عبارت دیگر ضریب نفوذپذیری صحیح حاصل از آنالیز برگشتی ابزار دقیق در حدود نه الی بیست و یک برابر بیش‌تر از ضریب نفوذپذیری به دست آمده از مقادیر پارامترهای طراحی اولیه و بر

مبناًی نتایج آزمایشگاهی قبل از عملیات پیش‌بارگذاری می‌باشد که این موضوع نشان می‌دهد مقدار نفوذپذیری واقعی بسیار بیش‌تر از مقدار تخمین اولیه در محاسبات بوده است. در ادامه تمامی پارامترهای صحیح به دست آمده از نتایج آنالیزهای برگشتی در جدول‌های ۴ و ۵ در نواحی مختلف ژئوتکنیکی با توجه به خاکریز مربوط ارایه شده است. هم‌چنین مقایسه نتایج نشست و اضافه فشارآب حفره‌ای حاصل از مدل‌سازی عددی و ابزارگذاری در شکل‌های ۲۱ و ۲۲ با یکدیگر پس از دست‌یابی به پارامترهای اصلاح شده حاصل از آنالیز برگشتی با یکدیگر مقایسه شده است. چنان‌که مشاهده می‌شود با اصلاحات انجام شده روی پارامترهای ژئوتکنیکی، نتایج مدل‌سازی عددی هم‌خوانی مناسبی با نتایج حاصل از ابزار دقیق دارد.



شکل ۲۱. نمودار مقایسه نشست خاکریزهای EM-3 و EM-2B در مدل‌سازی عددی و ابزار دقیق بعد از آنالیز برگشتی



شکل ۲۲. مقایسه نمودار اضافه فشار آب حفره‌ای خاکریزهای EM-3 و EM-2B در مدل‌سازی عددی و ابزار دقیق بعد از آنالیز برگشتی

هم‌چنین نتایج بررسی‌های عددی بر مبنای پارامترهای اصلاح شده حاصل از آنالیز برگشتی نشان داد که مقادیر نشست در مرکز خاکریز EM-2B در حدود ۱۲۲/۲ سانتی‌متر و برای

خاکریز EM-3 در حدود ۸۵/۲ سانتی‌متر حاصل شده است در صورتی که مطابق طراحی‌ها و پیش‌بینی‌های اولیه انجام شده، این مقادیر به ترتیب ۱۳۲ سانتی‌متر و ۱۴۱ سانتی‌متر تخمین زده شده بود. از این رو، می‌توان دریافت که مقادیر نشست محاسباتی اولیه بر مبنای پارامترهای فرض شده بیش‌تر از نشست‌های اندازه‌گیری شده بوده است. از دلایل کم‌تر شدن نشست‌های اندازه‌گیری شده نسبت به نشست‌های محاسباتی می‌توان به تعیین محافظه‌کارانه پارامترهای ژئوتکنیکی محاسبات نشست تحکیمی اشاره کرد.

جدول ۴. نتایج حاصل از آنالیز برگشتی پارامترهای تحکیمی در ناحیه دو ژئوتکنیکی در محل خاکریز EM-3

K_h (ML) (m/day)	K_v (ML) (m/day)	K_h (CL-2) (m/day)	K_v (CL-2) (m/day)	C_f (ML)	C_f (CL-2)	C_c (ML)	C_c (CL-1)	پارامترهای نشست تحکیمی
۰/۱۴۶	۰/۰۷۳	۰/۰۳۶	۰/۰۱۸	۱۷	۲۱	۰/۱۶	۰/۰۸	نتایج آنالیز برگشتی با استفاده از Settle 3D
۰/۰۰۸۶۴	۰/۰۰۴۳۲	۰/۰۰۱۷۲	۰/۰۰۸۶	-	-	۰/۱۷	۰/۱۷	مقادیر پارامترهای اولیه پیشنهادی

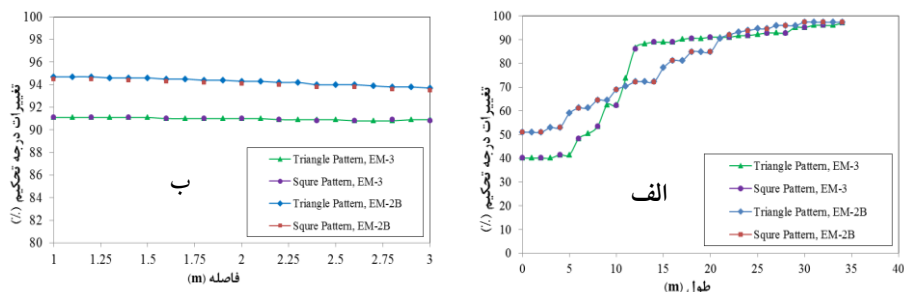
جدول ۵. نتایج حاصل از آنالیز برگشتی پارامترهای تحکیمی در ناحیه سه ژئوتکنیکی در محل خاکریز EM-2B

K_h (CL-2) (m/day)	K_v (CL-2) (m/day)	C_f (CL-2)	C_c (CL-1)	P_c (CL-1-1) (kPa)	پارامترهای نشست تحکیمی
۰/۰۲۳۴	۰/۰۱۱۷	۹	۰/۱۴	۱۹۰	نتایج آنالیز برگشتی با استفاده از Settle 3D
۰/۰۰۲۶	۰/۰۰۱۳	-	۰/۱۷	۱۸۰	مقادیر پارامترهای اولیه پیشنهادی

بررسی عملکرد زهکش‌ها در خاکریزهای EM-3 و EM-2B

با توجه به پارامترهای تحکیمی به دست آمده از نتایج آنالیز برگشتی و حصول پارامترهای اصلاح شده، با کمک مدل‌سازی عددی در این بخش از مقاله به بررسی پارامتریک رفتار

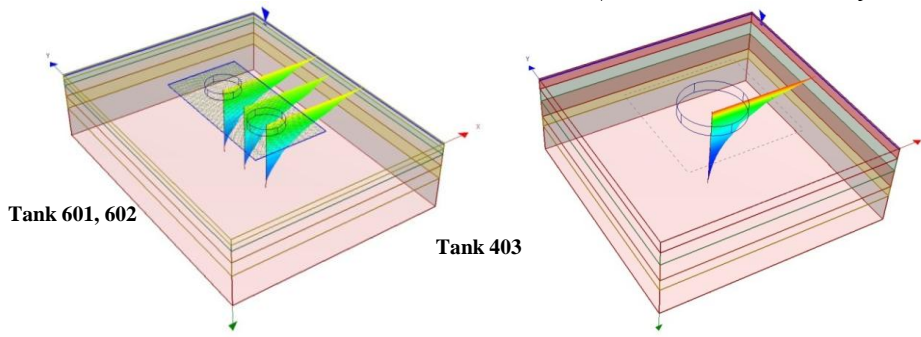
زهکش‌های قائم با تغییرات طول (عمق) و آرایش آن‌ها پرداخته شده است. با توجه به شکل ۲۳ الف، در حاکریز EM-2B با تغییر فاصله زهکش‌ها از $1/5$ متر به 3 متر، درجه تحکیم از $94/6$ به $93/7$ و برای حاکریز EM-3 درجه تحکیم از $91/1$ به $90/9$ تغییر یافته است. از این رو، با دو برابر کردن فاصله زهکش‌ها از یکدیگر، صرفًا $0/9$ درصد برای حاکریز EM-2B و $0/2$ درصد برای حاکریز EM-3 در درجه تحکیم تغییر ایجاد شده است که می‌توان در پروژه‌های آتی و خاکریزهای بعدی با مدنظر قرار دادن این موضوع فاصله زهکش‌ها را افزایش داد تا هزینه‌های اقتصادی آن‌ها کاهش یابد. همچنین استفاده از آرایش مثلثی و مربعی زهکش‌ها تأثیر محسوسی در میزان تغییر درجه تحکیم با تغییر فاصله زهکش‌ها ندارد. در مرحله دوم آنالیزها، با افزایش طول (عمق) زهکش‌ها، نتایج تغییرات درجه تحکیم محاسبه شده است. چنان‌که از نتایج به دست آمده در شکل ۲۳ ب مشاهده می‌شود افزایش طول زهکش‌ها تا عمق 30 متری (در حاکریز EM-2B) تغییرات درجه تحکیم چشم‌گیر بوده است و با افزایش این طول، تغییرات درجه تحکیم به مقدار $3/1$ درصد می‌رسد. به عبارت دیگر حداقل طول بهینه زهکش‌های پیش‌ساخته در محل خاکریزهای EM-2B تقریباً معادل 30 متر و همچنین برای حاکریز EM-3 این عمق بهینه زهکش‌ها عمیقی معادل 32 متر توصیه می‌شود.



شکل ۲۳. الف) نمودار تغییرات طول زهکش‌ها در خاکریزهای EM-3 و EM-2B و ب) نمودار تغییرات فاصله زهکش‌ها در خاکریزهای EM-3 و EM-2B (نرم افزار Settle 3D)

پیش‌بینی نشست مخازن نفت پس از اتمام عملیات پیش‌بارگذاری

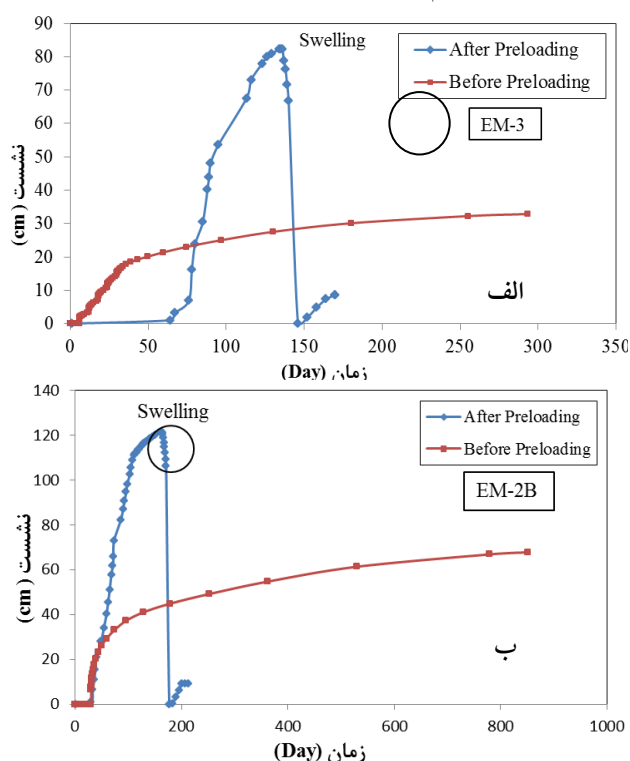
در این بخش پس از به دست آوردن پارامترهای اصلاح شده حاصل از آنالیز برگشتی به مدل‌سازی مخازن نفت و قرارگیری آن‌ها بر خاک منطقه مذکور به‌منظور پیش‌بینی نشست‌های احتمالی پس از ساخت مخازن نفت می‌پردازیم. قطر مخزن 403 Tank 403 واقع بر ناحیه سه ژئوتکنیکی و خاکریز EM-2B معادل $53/64$ متر بوده که وزنی معادل ۳۲۹۶۹ تن را به خاک وارد می‌کند. همچنین برای مدل‌سازی مخازن Tank 601 و 602 که روی ناحیه دو ژئوتکنیکی و خاکریز EM-3 واقع شده‌اند، وزنی معادل ۱۰۷۳۲ تن برای هر مخزن و قطری معادل $34/13$ متر در نظر گرفته شده است. در شکل ۲۴ تصویر مدل‌سازی مخازن در نرم‌افزار Settle 3D نشان داده شده است. لازم به ذکر است که مخازن مذکور با استفاده از تعریف یک بار فشاری در نرم‌افزار مدل شده‌اند. شکل ۲۵ نشان‌گر نتایج میزان نشست خاک پس از اعمال بار مخازن در قبل و بعد از عملیات پیش‌بارگذاری است. با توجه به نمودار ۲۵ الف خاکریزی طی مدت ۱۰۸ روز ادامه پیدا کرده است و سپس در مدت زمان ۵۳ روز (زمان انتظار)، خاک واقع در زیر خاکریز EM-2B به ۹۵ درصد تحکیم رسیده است. در این مرحله نشست نهایی خاک $122/2$ سانتی‌متر است و فشار آب منفذی اضافه به حداقل خود رسیده است که این موضوع نشان‌گر پایان زمان تحکیم خاک است.



شکل ۲۴. مدل‌سازی مخازن 403 Tank 403 و Tank 601 و Tank 602 در برنامه Settle 3D

لازم به ذکر است که در مراحل مدل‌سازی علاوه بر خاکریزی، خاکبرداری خاکریزها به صورت باربرداری در مدل عددی انجام شده تا شرایط واقعی پروژه به‌طور مناسبی شبیه‌سازی شوند. مطابق شکل ۲۵ الف، در این مرحله خاک به مقدار کمی دچار تورم شده و با

برداشتن خاکریزها از مقدار نشست نهایی کاسته شده و پس از برداشتن کل خاکریز (EM-2B) میزان نشست خاک به مقدار ۱۰۲ سانتی‌متر رسیده است که این موضوع بیان‌گر تورم خاک پس از برداشتن خاکریز است. پس جمع‌آوری خاکریز و پایان تورم نهایی خاک، مقدار تغییر مکان Tank 403 مدل صفر شده و در ادامه به بررسی نشست خاک در اثر قرارگیری مخزن ۴۰۳ می‌پردازیم پس از ساخت مخزن یاد شده در مدت زمان ۳۰ روز و قرارگیری آن روی خاک بهسازی شده، میزان نشست خاک پس از رسیدن به زمان تحکیم نهایی در نرم‌افزار Settle 3D به ۹/۱۱ سانتی‌متر رسیده است. همچنین برای خاکریز EM-3 (شکل ۲۵ ب) خاکریزی طی مدت ۱۲۳ روز ادامه پیدا کرده و پس از گذشت ۱۱ روز (زمان انتظار)، خاک واقع در زیر خاکریز EM-3 به ۹۵ درصد تحکیم خود رسیده است.



شکل ۲۵. نمودار نشست خاک قبل و بعد از پیش‌بارگذاری خاکریزهای (الف) EM-2B و (ب) در نرم‌افزار Settle 3D

در این مرحله نشست نهایی خاک $85/2$ سانتی‌متر است و فشار آب منفذی اضافه به حداقل خود می‌رسد. پس از برداشتن کل خاکریز میزان نشست خاک به مقدار 70 سانتی‌متر می‌رسد که این اختلاف ناشی از تورم خاک در اثر باربرداری است. پس جمع‌آوری خاکریز (EM-3) و پایان تورم نهایی خاک، به مدل‌سازی نشست خاک پس از قرار گیری مخازن Tank 601 و 602، می‌پردازیم. چنان‌که مشخص است پس از ساخت مخازن در مدت زمان ۳۰ روز، میزان نشست به $۹/۹۶$ سانتی‌متر پس از رسیدن به زمان تحکیم نهایی می‌رسد که نشان‌گر رفتار پیش تحکیمی خاک است.

هم‌چنین با توجه به نتایج به دست آمده در شکل 25 ، مشاهده می‌شود که نشست خاک قبل از عملیات به‌سازی در صورت ساخت مخزن 403 , Tank، پس از گذشت زمان تحکیمی برابر $۶۷/۸۴$ سانتی‌متر و در صورت ساخت مخازن 601 و $Tank 602$ معادل $۳۲/۷$ سانتی‌متر ایجاد می‌شود که این مقدار نشست موجب بروز مشکلات فراوان در بهره‌برداری و نیز ایجاد خسارت‌های جبران ناپذیری در این‌گونه مخازن می‌گردد. از این‌رو، مطابق با نتایج حاصل، نیاز به به‌سازی خاک و استفاده از سیستم پیش‌بارگذاری تأثیر به‌سزایی در کاهش میزان نشست‌ها و بهبود عملکرد آن‌ها در حین بهره‌برداری دارد.

جمع‌بندی و نتیجه‌گیری

در این مقاله به مدل‌سازی عددی عملیات به‌سازی خاک به‌روش پیش‌بارگذاری با خاکریز به همراه با زهکش‌های قائم پیش‌ساخته (PWD) در پروره انبار نفت ماهشهر (مطالعه موردي) می‌پردازیم. به‌منظور مدل‌سازی روند عملیات پیش‌بارگذاری و مقایسه آن‌ها با نتایج ابزارگذاری از نرم‌افزار تفاضل محدود Settle 3D استفاده می‌شود. نتایج نشست‌های مدل عددی با مقادیر نتایج ابزار دقیق کالیبره شده است و با استفاده از آنالیز برگشتی داده‌های ابزار دقیق، پارامترهای صحیح نشست تحکیمی تأثیرگذار خاک به‌دست آمد. هم‌چنین میزان نشست خاک قبل و بعد از پیش‌بارگذاری در اثر احداث مخازن نفت با یک‌دیگر مقایسه شدند. از جمله نتایج به‌دست آمده در این پژوهش می‌توان به این موارد اشاره کرد:

۱. مقادیر نشست ثبت شده با استفاده از ابزارگذاری در مرکز خاکریزهای EM-2B و EM-3 به ترتیب برابر $122/2$ و $85/2$ سانتی‌متر است در صورتی که مقدار نشست محاسباتی اولیه بر اساس نتایج آزمایش‌های آزمایشگاهی و صحرایی در مرکز خاکریز EM-2B، برابر 132 سانتی‌متر و در مرکز خاکریز EM-3، معادل 141 سانتی‌متر به دست آمده که نشان از محافظه کارانه بودن مقادیر پارامترهای خاک و به دنبال آن میزان نشست محاسباتی نسبت به مقادیر پیش‌بینی شده اولیه است.
۲. با توجه به نتایج حاصل از تحلیل حساسیت و آنالیز برگشتی، پارامتر C_p (نسبت نفوذپذیری خاک در محل به نفوذپذیری آزمایشگاه) برای خاکریزهای EM-2B و EM-3 به ترتیب در حدود نه و هفده برابر بیشتر از ضریب نفوذپذیری به دست آمده از مقادیر پارامترهای اولیه بر مبنای نتایج آزمایش‌های آزمایشگاهی و صحرایی بوده است. همچنین پارامترهای دیگر نشست تحکیمی نظیر شاخص تراکم (C_c) و فشار پیش تحکیمی خاک (P_c) بر مبنای نتایج به دست آمده از آنالیز معکوس مقادیر متفاوتی نسبت به پارامترهای اولیه طراحی دارند. این موضوع در پژوهش‌های برگادو و همکارانش [۱۲]، شن و همکاران [۱۶] و لام و همکاران [۱۷] نیز ذکر شده است.
۳. با توجه به نتایج بررسی‌های پارامتریک می‌توان به این موضوع پی برد که با دو برابر کردن فاصله زهکش‌ها حداقل $0/9$ درصد تغییر در درجه تحکیم ایجاد می‌شود که می‌توان در پروره‌های آتی و ساخت و طراحی خاکریزهای بعدی با مدنظر قرار دادن این موضوع فاصله زهکش‌ها را افزایش داد تا هزینه‌های اقتصادی آن‌ها کاهش یابد. از طرفی با افزایش طول (عمق) زهکش‌ها تا عمق حدود 30 متری در محل خاکریزها، تغییرات درجه تحکیم چشم‌گیر است و با افزایش این طول، تغییرات درجه تحکیم به مقدار $3/1$ درصد می‌رسد. این نتیجه در پژوهش‌های کاسکون و بیوندی [۱۱] و چن و همکاران [۱۳] نیز مشاهده می‌شود. آن‌ها نشان دادند که افزایش طول بیشتر زهکش‌ها تا حد مشخصی می‌تواند تأثیر چشم‌گیری در درجه تحکیم خاک داشته باشد.
۴. شبیه‌سازی عددی مخازن نفت در محل خاکریزها نشان می‌دهد که نشست خاک قبل از عملیات بهسازی در صورت ساخت مخزن Tank 403 (در محل خاکریز EM-2B) و پس از گذشت زمان تحکیمی برابر $84/67$ سانتی‌متر و در صورت ساخت مخازن Tank 601 و

Tank 602 (در محل خاکریز EM-3) معادل ۳۲/۷ سانتی‌متر ایجاد می‌شود که بعد از عملیات پیش‌بارگذاری و قرارگیری مخازن این نشست به ترتیب به ۹/۱۱ و ۹/۹۶ سانتی‌متر کاهش می‌یابد. این موضوع در پژوهش‌های کاسکون و بیوندی [۱۲] با اندازه‌گیری نشست‌های حاصل از ساخت مخزن تحت آزمایش‌های هیدرواستاتیک با آب ارائه شده است. در واقع بررسی‌های آن‌ها حاکی از عملکرد موفقیت‌آمیز استفاده از عملیات بهسازی خاک با استفاده از سیستم پیش‌بارگذاری در کاهش میزان نشست‌ها و بهبود عملکرد آن‌ها بهخصوص در پروژه‌ها با مقیاس بزرگ واقع در خاک‌های ریزدانه نرم بوده است.

۵. اطمینان به پارامترهای اولیه خاک به دست آمده از نتایج آزمایشگاهی و صحرایی منجر به خطاهای بزرگی در طراحی و پیش‌بینی اجرای مابقی خاکریزها می‌شود. از این‌رو، استفاده از ابزارگذاری و تجزیه و تحلیل نتایج آن تجربه‌ای مؤثر برای اجتناب از این نوع خطاهای در ادامه روند انجام پروژه‌های بهسازی خاک به‌روش پیش‌بارگذاری دارد.

۶. در انتها باید یادآوری کرد با توجه به عدم قطعیت‌های موجود در تعیین پارامترهای خاک حاصل از نمونه‌گیری و انجام آزمایش‌های آزمایشگاهی بهخصوص آزمایش‌های تحکیم یک‌بعدی، به‌منظور کاهش خطاهای در روند طراحی و اجرای پروژه‌های بهسازی خاک به‌روش پیش‌بارگذاری با خاکریز، استفاده از ابزارگذاری و انجام آنالیزهای معکوس با مدل‌های تحلیلی و عددی امری ضروری در کاهش هزینه‌ها و زمان‌بندی پروژه‌های مشابه است.

قدرتانی

بدین‌وسیله از مؤسسه مهندسان مشاور ساحل برای در اختیار گذاشتن اطلاعات مربوط برای این پژوهش تقدیر و تشکر می‌کنیم.

منابع

۱. استاماتوپولوس، آریس و پاناگیوتیس، کوتزیاس. "اصلاح خاک از طریق پیش‌بارگذاری"، سعید منتظر القائم، مؤسسه بین‌المللی زلزله‌شناسی و مهندسی زلزله (۱۳۷۸).
2. Federal Highway Administration (FHWA), "Prefabricated Vertical Drains, Vol. I, Engineering Guidelines", Report No. RD-86/168 (1986).

3. Bhushan K., Carlos V., Saaty R., "Soil Improvement by Precompression at a Tank Farm Site in Central Java, Indonesia", Journal of Geotechnical Engineering (2000).
4. Indraratna B., Redana I. W., "Laboratory determination of smear zone due to vertical drain installation", J. Geotechnical and Geoenvironmental Eng., ASCE, Vol. 125, No. 1, (1998) 96-99.
5. Indraratna B., Rujikiatkamjorn C., Sathananthan I., Shahin M., Khabbaz H., "Analytical and Numerical Solutions for Soft Clay Consolidation using Geosynthetic Vertical Drains with Special Reference to Embankments", Proceedings of the 5th International Geotechnical Engineering Conference, Cairo, Egypt (2005) 55-86.
6. Sathananthan I., Indraratna B., "Laboratory Evaluation of Smear Zone and Correlation between Permeability and Moisture Content", Journal of Geotechnical and Geoenvironmental Engineering (ASCE), 132 (7) (2006) 942-945.
7. Rujikiatkamjorn Ch., Indraratna B., Chu J., "Numerical Modelling of Soft Soil Stabilized by Vertical Drains, Combining Surcharge and Vacuum Preloading for A Storage Yard", Can. Geotech. J, 44 (3) (2007) 326-342.
8. Saowapakpiboon J., Bergado D.T., Youwai S., Chai J. C., Wanthon P., Voottipruek P., "Measured and Predicted Performance of Prefabricated Vertical Drains (PVDs) with and without Vacuum Preloading", Geotextiles and Geomembranes, 28 (1) (2010) 1-11.
9. Dhar A. S., Siddique A., Amen S. F., "Ground Improvement using Preloading with Prefabricated Vertical Drains", International Journal of Geoengineering Case Histories, 2 (2) (2011) 86.
10. Tedjakusuma B. "Application of Prefabricated Vertical Drain in Soil Improvement", Civil Engineering Dimension, 14 (1) (2012) 51-56.

11. Cascone E., Biondi G., "A Case Study on Soil Settlements Induced by Preloading and Vertical Drains", *Geotextiles and Geomembranes*, 38 (2013) 51-67.
12. Bergado D. T., Voottipruex P., Lam L. G., Hino T., "Back-analyses of Flow Parameters of PVD Improved soft Bangkok Clay with and Without Vacuum Preloading from Settlement Data and Numerical Simulations", *Geotextiles and Geomembranes*, 42 (5) (2014) 457-467.
13. Chen J., Shen S., Yin Z. Y., Xu Y. S., Horpibulsuk S., "Evaluation of Effective Depth of PVD Improvement in Soft Clay Deposit: A Field Case Study", *Marine Georesources & Geotechnology* (2016) DOI: 10.1080/1064119X.2015.1016638.
14. Carillo N., "Simple Two-and Three Dimentional Cases in The Theory of Consolidation of soils", *Journal of Mathematics and Physics*, 21 (1) (1942) 1-5.
15. Das B. M., "Advanced Soil Mechanics", 2nd edition. Taylor & Francis Inc (1997).
16. Shen S. L., Chaib J. C., Hongc Z. S., Cai F. X., "Analysis of Field Performance of Embankments on Soft Clay Deposit with and without PVD-improvement", *Geotextiles and Geomembranes*, 23 (6) (2005) 463-485.
17. Lam L G., Bergado D T., Hino T., "PVD Improvement of Soft Bangkok Clay with and without Vacuum Preloading using Analytical and Numerical Analyses", *Geotextiles and Geomembranes*, 43 (6) (2015) 547-557.